

# Математическое моделирование процесса диффузии в области с контрастными включениями на базе разрывного метода Галёркина

Марков Сергей Игоревич

Новосибирский государственный технический университет (Новосибирск), Россия

e-mail: www.sim91@list.ru

Актуальные на данный момент задачи исследования свойств процессов, протекающих в неоднородных средах, таких как эксплуатация газонефтяных месторождений, распределение тепловых и электромагнитных полей, требуют не только физически релевантного решения, но и оптимального его достижения в силу ограниченности вычислительных ресурсов компьютеров.

Одним из подходов, применяемых для моделирования таких процессов, является метод конечных элементов. В отличие от непрерывного метода Галёркина разрывный метод обладает свойством локальной консервативности, выраженной в том, что решение определяется независимо на каждом конечном элементе с согласованием поведения решения на межэлементной границе (в соответствии с теоремой Тихонова о следах функций) с помощью специальных лифтинг-операторов. Такая стратегия позволяет оптимально применять  $p$ - $h$ -технологии для повышения аппроксимирующих свойств решения, а также работать с несогласованными сетками. Однако наряду с положительными качествами метода следует отметить значительное увеличение степеней свободы (размерность СЛАУ) в отличие от непрерывной постановки Галёркина. Данная проблема решается либо распараллеливанием метода, либо использованием многомасштабной постановки.

## Вариационная постановка метода

Рассмотрим двумерную замкнутую область  $\Omega \subset \mathbb{R}^2$  в декартовых координатах  $(x, y)$  с границей  $\partial\Omega = \Gamma_D \cup \Gamma_N$ , где  $\Gamma_D \cap \Gamma_N = \emptyset$ . Диффузионный процесс описывается уравнением

$$-\nabla \cdot (\lambda \nabla u(x, y)) = f(x, y), \text{ в области } \Omega \subset \mathbb{R}^2 \quad (1)$$

с краевыми условиями Дирихле и Неймана:

$$u|_{\Gamma_D} = g_D, \quad (2)$$

$$\lambda \frac{\partial u}{\partial n} \Big|_{\Gamma_N} = g_N, \quad (3)$$

Перейдём от уравнения (1) к системе уравнений первого порядка

$$\begin{cases} \sigma = \nabla u, \\ -\nabla \cdot (\lambda \sigma) = f, \end{cases} \quad (4)$$

$$u|_{\Gamma_D} = g_D, \quad (5)$$

$$\lambda \sigma \cdot n|_{\Gamma_N} = g_N, \quad (6)$$

где  $n$  – вектор внешней нормали.

Введем разбиение области  $\Omega: \Xi_h = \{K\}$  с границей  $\Gamma = \bigcup_{K \in \Xi} \partial K$ , под  $K$  понимается конечный

элемент. Для каждого  $K \in \Xi_h$  обозначим через  $p$  наивысшую локальную степень полиномов.

Конечноэлементные пространства определяются в виде [1]:

$$V_h = \{v \in L_2(\Omega) : v|_K = P_p(K) - \text{полиномы степени не больше } p\}, \quad (7)$$

$$\Sigma_h = \{\tau \in [L_2(\Omega)]^2 : \tau|_K = [P_p(K)]^2 - \text{векторное пространство}\} \quad (8)$$

Решение  $u(x, y)$  внутри каждого конечного элемента решение представляется непрерывной функцией

$$u(x, y) = \sum_{i=1}^4 q_i \Psi_i(x, y) \quad (9)$$

где  $\Psi_i(x, y)$  - базисная функция, ассоциированная с  $i$ -ым узлом конечного элемента.

Скалярно умножим каждое уравнение системы (4) на тестовые функции из пространств (7) и (8) соответственно на конечном элементе. Применив первую формулу Грина, получим

$$\begin{cases} \int_K \sigma \cdot \tau dK = \int_K \nabla u \cdot \tau dK, \forall \tau \in \Sigma_h, \\ -\int_K (\nabla \cdot \lambda \sigma) v dK = \int_K f v dK, \forall v \in V_h, \end{cases} \Rightarrow \begin{cases} \int_K \sigma \cdot \tau dK = -\int_K u \nabla \cdot \tau dK + \int_{\partial K} u n_K \cdot \tau dS, \\ \int_K \lambda \sigma \cdot \nabla v dK = \int_K f v dK + \sum_K \int_{\partial K} \lambda \sigma \cdot n_K v dS, \end{cases} \quad (10)$$

где  $n_K$  - вектор внешней нормали.

Необходимо аппроксимировать  $\sigma$  и  $u$  на конечном элементе функциями  $u_h \in V_h$  и  $\sigma_h \in \Sigma_h$ . Просуммировав результат по всей расчетной области, получим:

$$\begin{cases} \int_{\Omega} \sigma_h \cdot \tau d\Omega = -\int_{\Omega} u_h \nabla_h \cdot \tau d\Omega + \sum_K \int_{\partial K} \hat{u}_K n_K \cdot \tau dS, \forall \tau \in \Sigma_h, \\ \int_{\Omega} \lambda \sigma_h \cdot \nabla_h v d\Omega = \int_{\Omega} f v d\Omega + \sum_K \int_{\partial K} \lambda \hat{\sigma}_K \cdot n_K v dS, \forall v \in V_h, \end{cases} \quad (11)$$

где  $\hat{u}_K, \hat{\sigma}_K$  - «численные потоки», аппроксимирующие  $u, \sigma = \nabla u$  на  $\partial\Omega$ .

Для доопределения решения на границе конечных элементов введём следы функций  $v \in V_h$  и  $\tau \in \Sigma_h$  [1] на  $\partial\Omega$ :

$$v_K = \lim_{\varepsilon \rightarrow 0} v(x - \varepsilon n_K), \text{ на } \partial\Omega, \quad (12)$$

$$\tau_K = \lim_{\varepsilon \rightarrow 0} \tau(x - \varepsilon n_K) \text{ на } \partial\Omega, \quad (13)$$

где  $\varepsilon$  – малое число.

Введём обозначение  $e_{\text{int}} \in \Gamma$  - внешнее ребро конечного элемента,  $e_{\text{bnd}} \in \Gamma^0$  - внутреннее и определим операторы следа.

Операторы среднего:

$$\{v\} = \frac{1}{2}(v_i + v_j) \text{ на } e_{\text{int}}, \quad (14)$$

$$\{v\} = v_i \text{ на } e_{\text{bnd}}, \quad (15)$$

$$\{\tau\} = \frac{1}{2}(\tau_i + \tau_j) \text{ на } e_{\text{int}}, \quad (16)$$

$$\{\tau\} = \tau_i \text{ на } e_{\text{bnd}}, \quad (17)$$

Операторы скачка:

$$[v] = v_i n_i + v_j n_j \text{ на } e_{\text{int}}, \quad (18)$$

$$[v] = v_i n_i \text{ на } e_{\text{bnd}}, \quad (19)$$

$$[\tau] = \tau_i n_i + \tau_j n_j \text{ на } e_{\text{int}}, \quad (20)$$

$$[\tau] = v_i n_i \text{ на } e_{\text{bnd}}, \quad (21)$$

Воспользуемся фактом, что  $\forall q \in T(\Gamma), \forall \varphi \in [T(\Gamma)]^2$ , верно

$$\sum_K \int_{\partial K} q_K \varphi_K n_K dS = \int_{\Gamma} [q] \cdot \{\varphi\} dS + \int_{\Gamma^0} [\varphi] \cdot \{q\} dS, \quad (22)$$

и запишем систему (11) в виде

$$\begin{cases} \int_{\Omega} \sigma_h \cdot \tau d\Omega = - \int_{\Omega} u_h \nabla_h \cdot \tau d\Omega + \int_{\Gamma} [\bar{u}] \cdot \{\tau\} dS + \int_{\Gamma^0} [\tau] \cdot \{\bar{u}\} dS, \forall \tau \in \Sigma_h, \\ \int_{\Omega} \lambda \sigma_h \cdot \nabla_h v d\Omega = \int_{\Omega} f v d\Omega + \int_{\Gamma^0} \lambda [\bar{\sigma}] \cdot \{v\} dS + \int_{\Gamma} \lambda [v] \cdot \{\bar{\sigma}\} dS, \forall v \in V_h, \end{cases} \quad (23)$$

Если в вышерассмотренном свойстве (22) положить  $q = tr(v)$ ,  $\varphi = tr(\tau)$ , то, используя первую формулу Грина, можно показать, что

$$- \int_{\Omega} \nabla_h \cdot \tau v d\Omega = \int_{\Omega} \tau \cdot \nabla_h v d\Omega - \int_{\Gamma} \{\tau\} \cdot [v] dS - \int_{\Gamma^0} [\tau] \cdot \{v\} dS \quad (24)$$

Положим в (24)  $v = u_h$  и подставим в правую часть первого уравнения системы (23)

$$\int_{\Omega} \sigma_h \cdot \tau d\Omega = \int_{\Omega} \tau \cdot \nabla_h u_h d\Omega + \int_{\Gamma} [\bar{u} - u_h] \cdot \{\tau\} dS + \int_{\Gamma^0} [\tau] \cdot \{\bar{u} - u_h\} dS, \quad (25)$$

где  $\nabla_h V_h \in \Sigma_h$ .

Из (25) можно записать

$$\sigma_h = \sigma_h(u_h) = \nabla_h u_h - r([\bar{u}(u_h) - u_h]) - l(\{\bar{u}(u_h) - u_h\}), \quad (26)$$

где

$$\begin{cases} \int_{\Omega} r(\varphi) \cdot \tau d\Omega = - \int_{\Gamma} \varphi \cdot \{\tau\} dS, \\ \int_{\Omega} l(q) \cdot \tau d\Omega = - \int_{\Gamma^0} q \cdot [\tau] dS, \end{cases} \quad (27)$$

Будем называть (27) лифтинг-операторами, подтягивающие решения на границе.

Положим в (27)  $\tau = \nabla_h v$  и перепишем второе уравнение системы (23) с учётом (25) в виде:

$$\int_{\Omega} \lambda \nabla_h u_h \cdot \nabla_h v d\Omega + \int_{\Gamma} \lambda ([\bar{u} - u_h] \cdot \{\nabla_h v\} - \{\bar{\sigma}\} \cdot [v]) dS + \int_{\Gamma^0} \lambda (\{\bar{u} - u_h\} [\nabla_h v] - \{v\} [\bar{\sigma}]) dS = \int_{\Omega} f v d\Omega \quad (28)$$

Соотношение (28) называют вариационной постановкой разрывного метода Галёркина в общем виде. В зависимости от выбора численных потоков, можно получить разные вычислительные схемы с нужными свойствами при решении задачи.

Для вычислительной схемы IP-метода (метод внутреннего штрафа) выбирают численные потоки в виде

$$\bar{u}_K = \begin{cases} \{u_h\} \text{ на } \Gamma^0, \\ \mathbf{g}_D \text{ на } \Gamma_D, \\ u_h, \text{ на } \Gamma_N, \end{cases} \quad \bar{\sigma}_K = \begin{cases} \{\nabla u_h\} - \alpha_j([u_h]) \text{ на } \Gamma^0, \\ \nabla u_h - \alpha_j([u_h]) \text{ на } \Gamma_D, \\ n g_N, \text{ на } \Gamma_N, \end{cases} \quad (29)$$

где  $\alpha_j([u_h]) = \mu[u_h]$ , коэффициент стабилизации  $\mu$  зависит от коэффициентов исходного уравнения, размера конечного элемента и от порядка базисных функций. С учётом (29) перепишем (28) в виде:

$$\int_{\Omega} \lambda \nabla u \cdot \nabla v d\Omega - \int_{\Gamma} \lambda ([u] \{\nabla v\} + \{\nabla u\} [v]) dS + \sum_{l \in \Gamma_D \cup \Gamma^0} \int_l \mu [u] [v] = \int_{\Omega} f v d\Omega \quad (30)$$

## Результаты численных экспериментов

В качестве тестовой задачи рассмотрим решение уравнения (1) в области  $\Omega$ , изображенной на рис.1, с параметрами задачи  $f=1$ ,  $u|_{\Omega}=0$ ,  $\lambda = \begin{cases} 1, & \text{если } (x, y) \in \Omega_1, \\ 1e-9, & \text{если } (x, y) \in \Omega_2 \cup \Omega_3 \cup \Omega_4 \cup \Omega_5, \end{cases}$

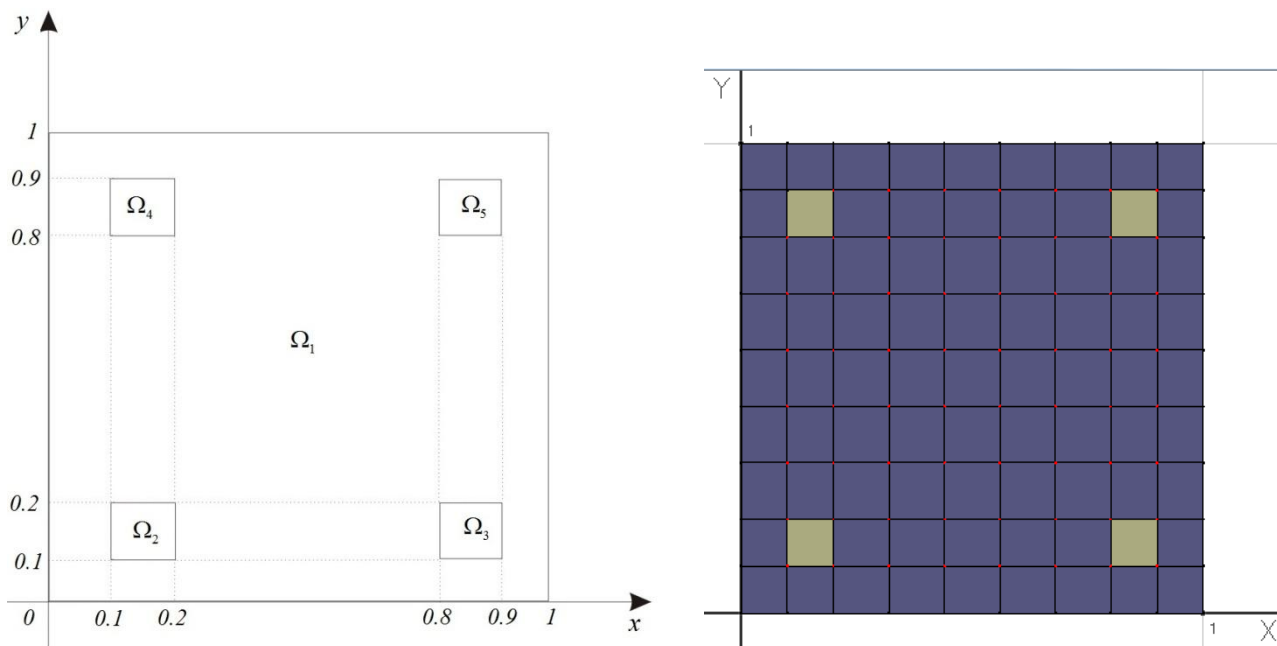


Рис.1. Расчетная область и сетка с шагом  $h=0.1$

На рис.2 представлено решение, полученное разрывным методом Галёркина, когда решение строится на каждом конечном элементе, и непрерывным методом Галёркина, когда решение является непрерывной функцией во всей области.

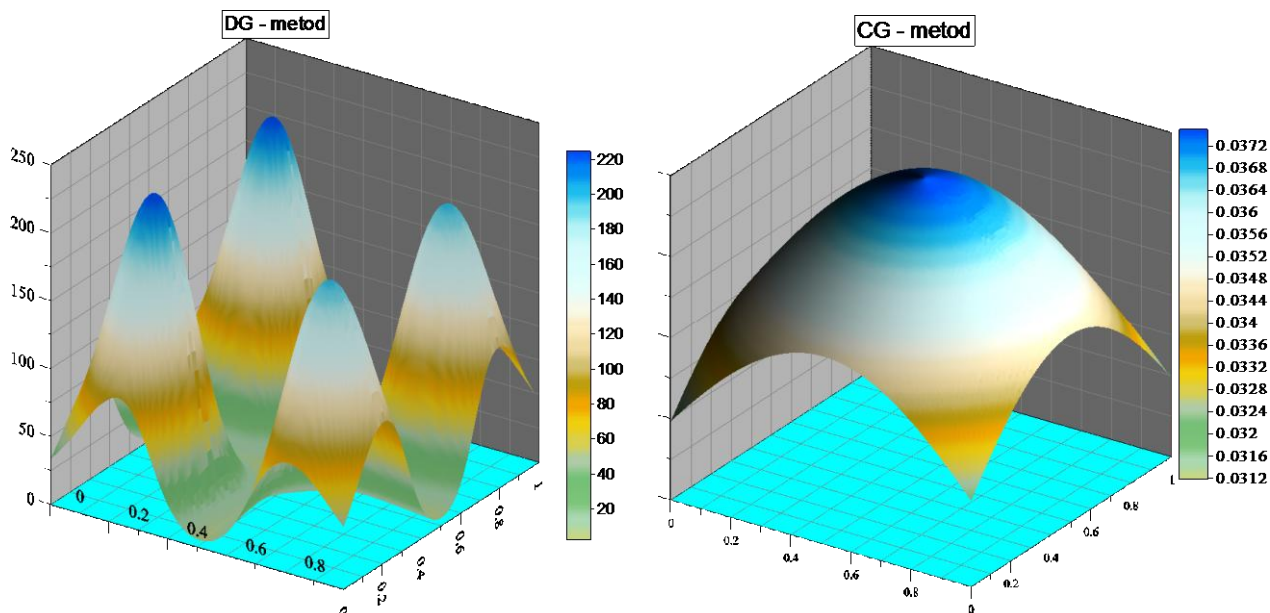


Рис.2. Решение, полученное разрывным (слева) и непрерывным (справа) методом Галёркина

Существенное противоречие решений заключается в использовании сетки, которая не позволяет на требуемом уровне подробности учитывать микровключения  $\Omega_2, \Omega_3, \Omega_4, \Omega_5$ , что даёт физически нерелевантное решение.

Если продолжить дробление сетки, то, начиная с некоторого шага, решения, полученные разными методами, совпадут. Результаты эксперимента представлены на рис.3.

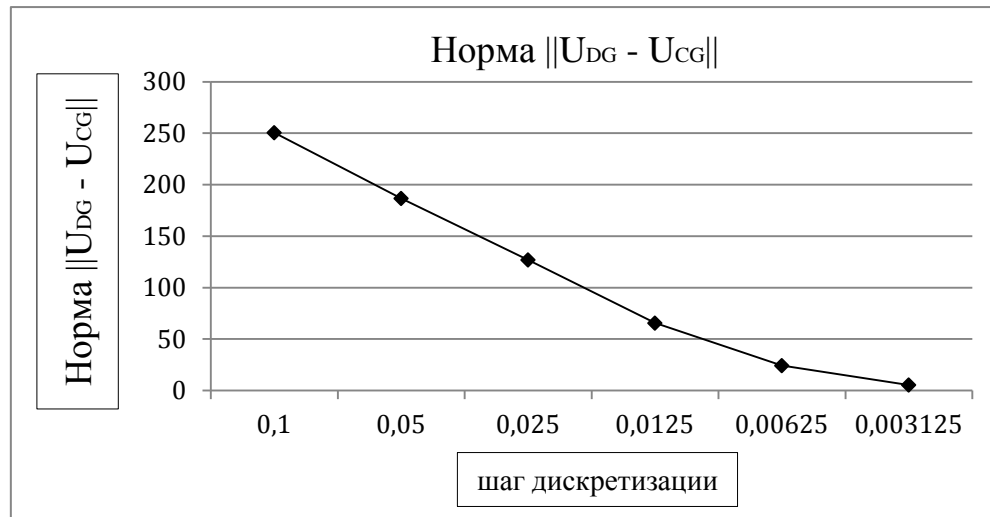


Рис.3. Норма разности решений с последующим дроблением сетки, понимается норма  $\|F\|_{L^2}$

Следует отметить, что разрывный метод Галёркина целесообразно использовать в областях с мелкими контрастными включениями (резко меняющимся коэффициентом диффузии), а также в задачах, решение которых строится на несогласованных сетках. На рис.4 приведён результат численного эксперимента, показывающий целесообразность использования непрерывного метода при решении задачи, поставленной выше, но с менее контрастными микровключениями.

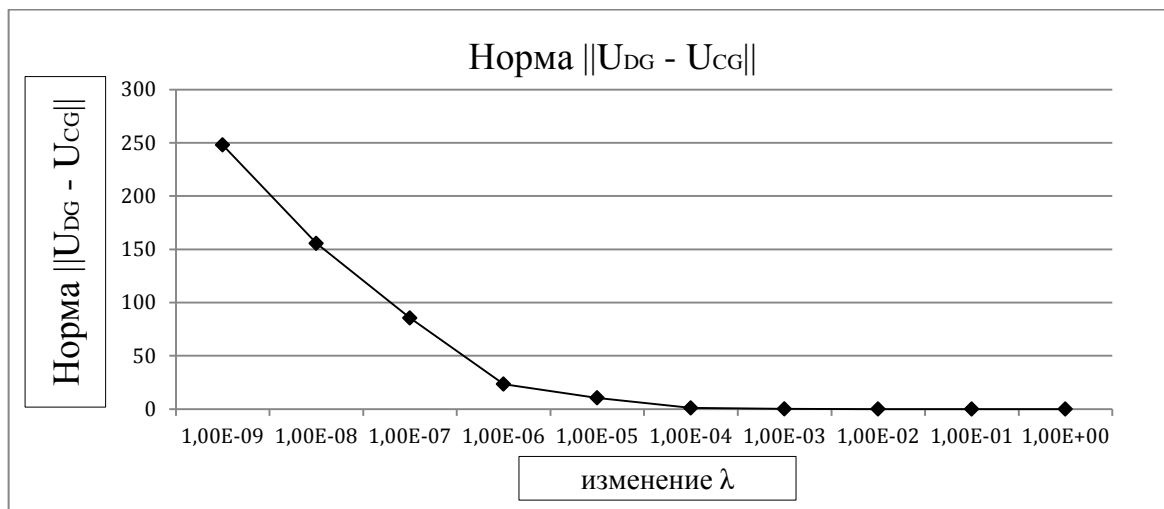


Рис.4. Влияние контрастности микровключений на решение задачи CG- и DG-методом

Таким образом, использование разрывного метода Галёркина (DG-метод) позволяет достичь физически релевантного решения на более грубой сетке, что упрощает задание расчетной области и ускоряет процесс решения конечноэлементной СЛАУ.

### Список использованной литературы

1. D.N.Arnold, F.Brezzi, B.Cocburn, D.Marini. Unified analysis of discontinuous Galerkin methods for elliptic problems //SIAM J. Numer. Anal. 2002. V.39.
2. C.E.Baumann and J.T.Oden. A discontinuous hp finite element method for convection-diffusion problems //Comput. Methods Appl. Mech. Eng., 175, 2000, pp311-341.